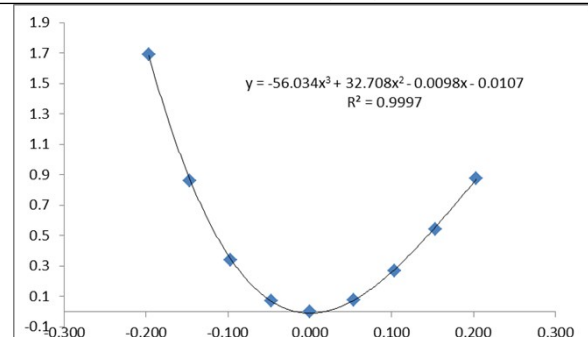
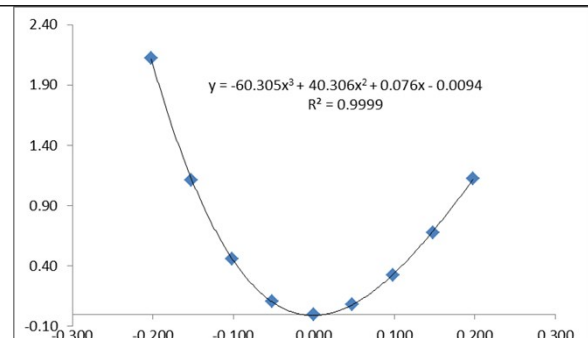
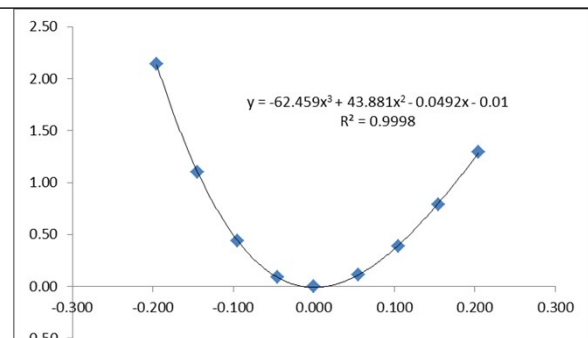
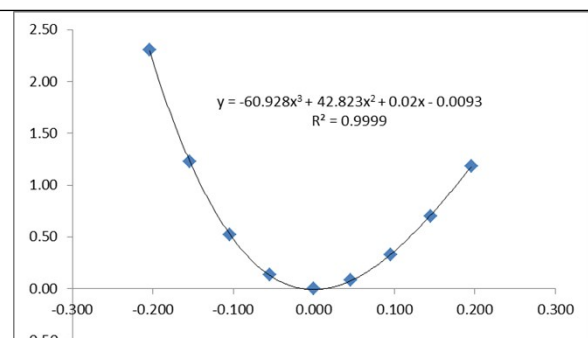
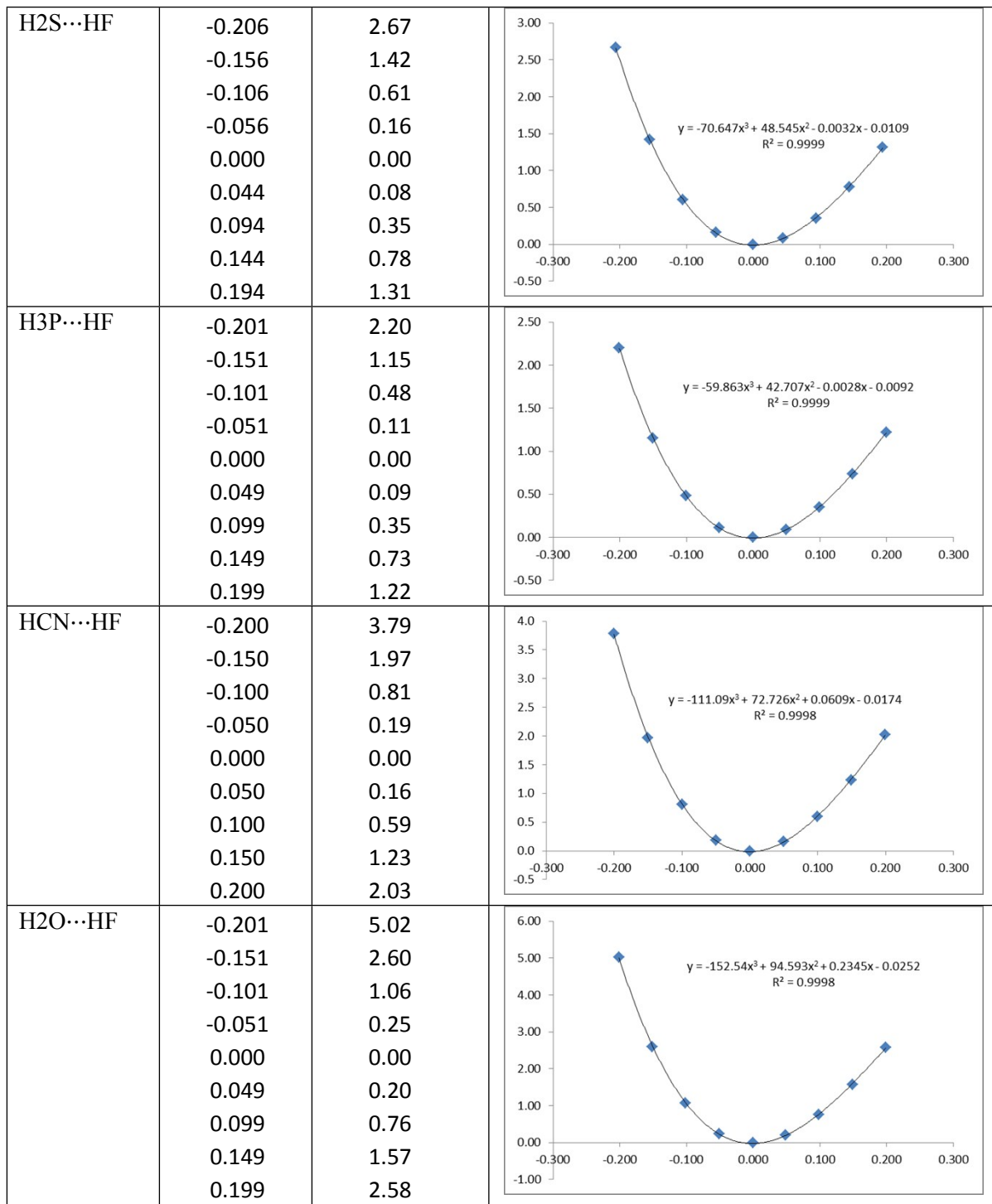
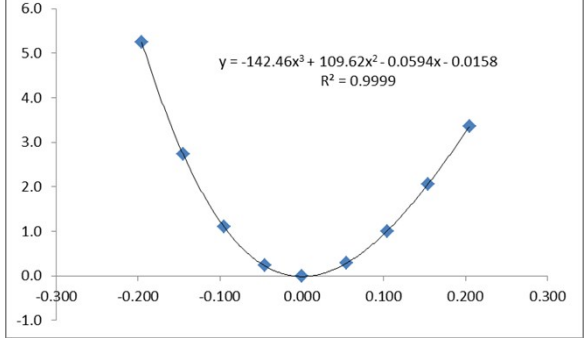
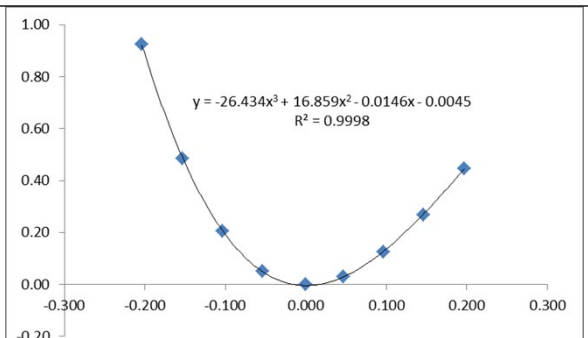
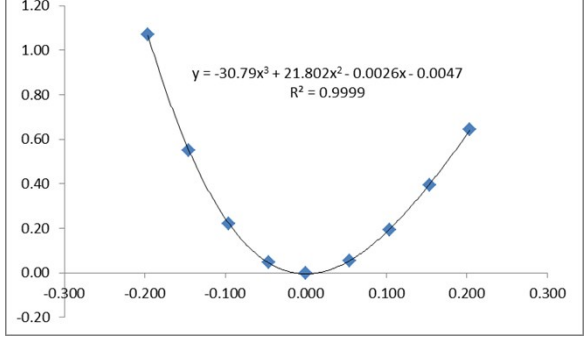


SUPPLEMENTARY MATERIAL FILE 2: $E_r - E_{re}$ vs. $(r - r_e)$ data for force constant calculations

Geometry scan calculated at CCSD(T)/aug-cc-pVTZ computational level.

Complex	$(r - r_e)/\text{\AA}$	$E_r - E_{re}/\text{kJ mol}^{-1}$	$E_r - E_{re}$ vs. $(r - r_e)$
N2…HF	-0.197 -0.147 -0.097 -0.047 0.000 0.053 0.103 0.153 0.203	1.69 0.86 0.34 0.07 0.00 0.08 0.27 0.54 0.88	
OC…HF	-0.202 -0.152 -0.102 -0.052 0.000 0.048 0.098 0.148 0.198	2.12 1.11 0.46 0.11 0.00 0.08 0.32 0.68 1.12	
C2H2…HF	-0.195 -0.145 -0.095 -0.045 0.000 0.055 0.105 0.155 0.205	2.14 1.10 0.44 0.09 0.00 0.11 0.39 0.79 1.29	
C2H4…HF	-0.204 -0.154 -0.104 -0.054 0.000 0.046 0.096 0.146 0.196	2.31 1.22 0.52 0.13 0.00 0.08 0.32 0.70 1.18	



H3N...HF	-0.195 -0.145 -0.095 -0.045 0.000 0.055 0.105 0.155 0.205	5.25 2.73 1.10 0.23 0.00 0.29 1.01 2.05 3.35	
N2...HCl	-0.204 -0.154 -0.104 -0.054 0.000 0.046 0.096 0.146 0.196	0.92 0.49 0.20 0.05 0.00 0.03 0.12 0.27 0.45	
OC...HCl	-0.196 -0.146 -0.096 -0.046 0.000 0.054 0.104 0.154 0.204	1.07 0.55 0.22 0.05 0.00 0.06 0.19 0.39 0.64	
C2H2...HCl	-0.201 -0.151 -0.101 -0.051 0.000 0.049 0.099 0.149 0.199	1.37 0.72 0.30 0.07 0.00 0.06 0.22 0.47 0.77	